

II-48 流れによる Sand Wave の発生限界について

九州大学工学部 正員 橋 東一郎
山口大学工学部 正員 ○齊藤 隆

河床上に形成される sand wave 上の流れや砂の動きでみて直ちに気がつくのは、砂連の山に於て流れが剥離してその背後に死水域の形成される事と、及び前面の斜面によって揚浜されてきた砂が山からほこりをもって撒き散らし、右側面から新らしい砂の移動が始まることである。したがつて、砂面の安定性を吟味して sand wave の発生をしらべる場合、なんらかの形でこの 2 つの要素をとり入れてみないと考へていらん。本文は剥離についても考慮、或速度における流速分布が剪断応力の変形をとり入れ、砂の移動は非平衡状態にあるものとして、微少擾乱理論により河床の安定を論議したもので、その結果 Dune (ripple), Transition (smooth), Anti-dune に関する R.J. Trall の criterion とは一致する結果が導かれた。

流速分布については、湍動粘性係数を一定として次式

$$u/u_0 = 1 - \Delta^2, \quad u/u_m = (1 - \Delta^2) / (1 - \frac{\Delta}{3}) \quad (1)$$

を仮定し、底面の剪断応力が底速度 u_0 の 2 倍に比例すとすると

$$\tau_0/p = K^2 u_0^2 (1 - \Delta) / (1 - \frac{\Delta}{3}), \quad K = K' (h/k_s)^n \quad (2)$$

とおく。Nikuradse の diverged, convergent channel の実験などから、加速、減速流によって速度分布が変形することを考へずため、簡単な

$$\Delta = \Delta_0 + \Delta' = \Delta_0 + a \frac{dh}{dx}, \quad \Delta_0 = b \left(\frac{h}{h_0} \right)^2 \quad (3)$$

とおき、同実験の結果を用いて a を決定すると $a = 6.0 \times 10^{-3}$ 。

ついで、砂移動については H.A. Einstein のモデルを用い、砂は平均的に l 移動した後 λl の位相をもつとする。

$$\frac{\partial N}{\partial x} = n P_s - N/l \quad (4)$$

ここで、 P_s 及び l は local な流れの場に規定され、平衡状態のものに近似されるに考へる。

$$\frac{\lambda l}{A_0} \frac{\partial E}{\partial x} = P - \frac{E}{A_0} (1 - P), \quad E = \frac{gT}{\sqrt{sgd}}, \quad l = \frac{\lambda l d}{1 - P}, \quad P = \frac{E/A_0}{1 + E/A_0} = P(E) \quad (5)$$

となる。なお、底砂量式としては

$$E = 25 \pi^m (4 - 4k_s) (k_s/d)^{-0.44} \quad (m=1.3) \quad (6)$$

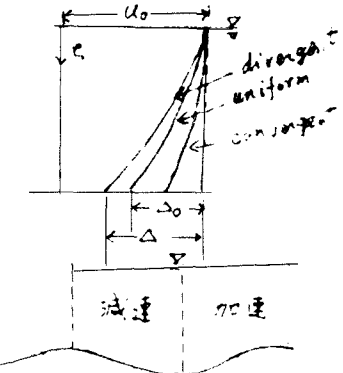
と用い、 k_s は砂が移動していることを考慮して $k_s = 4d$ とおく。上式の m は (2), (3) 式より

$$4l = \frac{\tau_0/p}{sgd} = K'^2 \left(\frac{h}{h_0} \right)^2 \frac{u_0^2}{sgd} \left(\frac{1 - \Delta}{1 - \frac{\Delta}{3}} \right)^2 \quad (7)$$

他に、河床高の式、水流の連續の式および運動方程式は

$$\frac{\partial h}{\partial t} + \frac{1}{1 - \lambda} \frac{\partial q}{\partial x} = 0 \quad \frac{\partial h}{\partial t} + \frac{\partial q}{\partial x} = 0 \quad (8)$$

$$\frac{1}{gh} \frac{\partial}{\partial t} (u_m h) + \frac{1}{gh} \frac{\partial}{\partial x} \int_0^h u^2 dy = - \frac{\tau_0}{pgh} + (S_0 - \frac{\partial z}{\partial x}) - \frac{\partial h}{\partial x} \quad (9)$$



ii. u_m , 重おさひ生は、平均値とそれからの偏りからなるものとして

$$h = h_0(1+\gamma), \quad u_m = u_{mo}(1+u), \quad \text{重} = \bar{\gamma}(1+\varphi), \quad \text{偏} = \bar{u}(1+\psi) \quad (10)$$

とおき、微少振幅の仮定を用いて変形すると、無次元形において次の基礎式が得られる。

$$\begin{aligned} E \frac{\partial \varphi}{\partial \xi} &= B [(2n-p)\gamma + 2\lambda - q a \frac{\partial \gamma}{\partial \xi}] - \varphi \\ \frac{\partial \gamma}{\partial \xi} + \frac{\partial \varphi}{\partial \xi} &= 0, \quad X \frac{\partial \varphi}{\partial \xi} + \frac{\partial (\gamma + u)}{\partial \xi} = 0 \\ M_0^2 X \frac{\partial u}{\partial \xi} + \frac{\partial \gamma}{\partial \xi} &= - \frac{\partial \gamma}{\partial \xi} (1 - S_0 q a) + S_0 (1 - 2n + p) \gamma - 2u S_0 - M_0^2 \frac{\partial u}{\partial \xi} \end{aligned} \quad (11)$$

$$\begin{aligned} \gamma &= \gamma h_0, \quad \delta = \delta h_0, \quad \tau = t \frac{\sqrt{sgd}}{(1-\lambda) h_0} \bar{\gamma}_0, \quad M_0 = \frac{u_{mo}^2}{gh_0} \\ E &= \frac{\lambda \eta d}{h_0} (1 + \bar{\gamma}_0 / A_\infty), \quad B = m + \frac{4\gamma}{4\gamma - 4\zeta}, \quad P = \frac{\frac{4}{3} \alpha_0 \alpha}{(1 - \alpha_0)(1 - \frac{\alpha_0}{3})}, \quad q' = \frac{4\gamma}{(1 - \alpha_0)(1 - \frac{\alpha_0}{3})} \quad (12) \\ X &= \frac{\sqrt{sgd}}{u_{mo} h_0} \frac{d}{h_0} \frac{\bar{\gamma}_0}{1 - \lambda} = \frac{1}{(1 - \lambda)} \frac{q_T}{\beta} \end{aligned}$$

ここで、 $\gamma = \gamma_0 e^{(\beta \tau + 2\zeta \tau) + 2\beta \delta}$ とおいて、不安定 ($\gamma' > 0$)、安定 ($\gamma' < 0$) 及び伝播速度 $\omega = -\frac{\gamma'}{\beta}$ の正負をしらべるとあるが、(11) 式において X を考慮すれば他の理にくらべて小さく、こまかに無視する。すなはち簡単な 1 次式となる。有理化したものの分子のうち安定に關係するものを $\gamma' = \gamma'_1 + i\gamma'_2$ とおく。

$$\begin{aligned} \gamma'_1 &= (1 - M_0^2 - q a S_0) \{ q a - E(2 - 2n + p) \} - \{ (3 - 2n + p) S_0 \} \{ E q a + \frac{(2 - 2n + p)}{\beta^2} \} \\ - \frac{\gamma'_2}{\beta} &= (1 - M_0^2 - q a S_0) \{ q a \beta^2 E + (2 - 2n + p) \} + \{ (3 - 2n + p) S_0 \} \{ q a - E(2 - 2n + p) \} \end{aligned} \quad (13)$$

△ 13. 小さな量を仮想して大粒把は不安定の條件を求める。

$$\begin{aligned} 1 > M_0^2 \text{ (常流) の場合, } q a > E(2 - 2n + p) \text{ のとき } \gamma'_1 > 0 \text{ (不安定), } -\frac{\gamma'_2}{\beta} > 0 \text{ (dune)} \\ 1 < M_0^2 \text{ (射流) の場合, } q a < E(2 - 2n + p) \text{ のとき } \gamma'_1 > 0 \text{ (不安定), } -\frac{\gamma'_2}{\beta} < 0 \text{ (Anti-dune)} \end{aligned} \quad (14)$$

△ 14. Dune & Anti-dune の発生する可能性の範囲をしらべるため

詳しく、かつ実用的な発生範囲をしらべるために

$$\lambda_1 = 100, \quad A_\infty = \frac{1}{10}, \quad \beta^2 = 1.58 \quad (\text{砂の吸水率} = 5h_0) \quad a = 6.0, \quad S = 1.65$$

において、横軸の R/a は 10^0 から 10^6

$\gamma'_1 = 0$ の直線を、計算結果は R. J. Grade のまとめた実験結果とともに左図に示されている。図中の破線は Grade が実験結果を参考してひいた限界線。実線は計算により得られたものである。

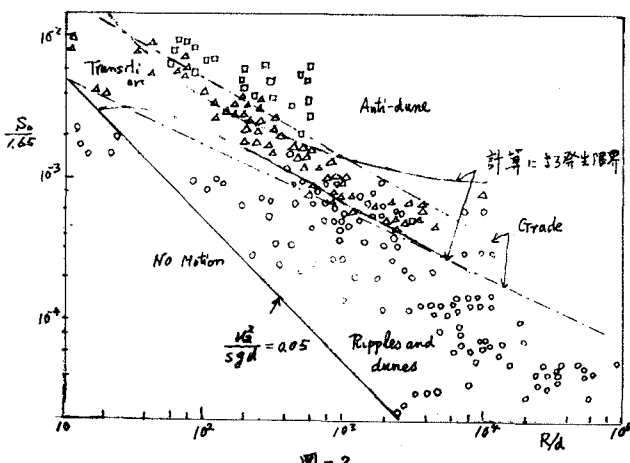


図-2